

دانشکده علوم

بررسی اثر دمش ناهمدوس روی دوپایایی

نوری سیستم های کوانتومی

پایان نامه کارشناسی ارشد

سیده معصومه موسوی

استاد راهنمای اول: دکتر محمد محمودی

استاد راهنمای دوم: دکتر مصطفی صحرایی

شهریور ۱۳۸۸

بِسْمِ اللّٰهِ الرَّحْمٰنِ الرَّحِيْمِ

قدرتانی و تشکر

سپاس آفریدگاری را که ما را به نور معرفت و علم بینا ساخت تا پرتوی از انوار خورشید دانش بیکرانش به دل راه یابد. ابتدا بر خود لازم می دانم مراتب سپاس خود را از مادر دلسوز و فداکارم، پدر عزیز و بزرگوارم، خواهران مهربان و برادر گرامی ام که در تمامی دوران زندگی ام مشوق و پشتیبان من بودند اعلام دارم و از اینکه به پشتوانه ای لطف بیکران و دعای خیرشان موفق به انجام این پژوهش شدم بر خود می بالم.

از خدمات بی شائبه استاد گرانقدرم جناب آقای دکتر محمد محمودی که در تمامی مراحل انجام این پایان نامه عالماهه و مشفقاته یاری ام نمودند، خالصانه تقدیر می نمایم و همواره وام دار محبت ها و رهنمود های ایشان که باعث ایجاد انگیزه و خود باوری در وجودم شد می باشم و هرگز درس بزرگ اندیشیدن را، که از ایشان آموختم فراموش نمی کنم. همچنین از استاد بزرگوارم جناب آقای دکتر مصطفی صحرابی کمال تشکر را دارم. از جناب آقای دکتر علی نجفی و جناب آقای دکتر سعید قنبری که رحمت داوری پایان نامه‌ی اینجانب را به عهده گرفتند سپاسگزارم.

از جناب آقای پروفسور لوجی آتو^۱ که بنده را مفتخر به داشتن کتاب ارزشمندانه نمودند صمیمانه سپاسگزارم و هرگز درس بزرگ اخلاق علمی، که از ایشان آموختم از یاد نخواهم برد. از زنده یاد دکتر موسی حاتمی که در تمامی مدت انجام این پایان نامه با ارسال مقالات بنیادین و با ارزشی که دسترسی به آن ها برایم مقدور نبود، مرا در تکمیل پایان نامه یاری نمودند کمال تشکر را دارم و برایشان از خداوند رحمان طلب مغفرت دارم. همچنین از جناب آقای علی مرتضی پور که در تمام دوره تحصیل در این مقطع و انجام پایان نامه یاری ام نمودند صمیمانه تشکر می نمایم.

در پایان از تمامی استادی بزرگوارم در گروه فیزیک جناب آقایان دکتر سیامک خادمی، دکتر احمد درودی، دکتر یوسفعلی عابدینی، دکتر سعید مهدوی فر، دکتر امیرحسین درونه، دکتر امیرحسین سعید، دکتر محسن صرافی و دکتر طیب کاکاوند که در تمام دوران تحصیل در دانشگاه از تدریس خوبیان و راهنمایی های ارزنده شان استفاده کردم سپاسگزارم. همچنین از دوستان خوبم در گروه فیزیک خانم ها: آزاده خشکرودی، سیده مریم نعیمی، مریم احمدی، لیلا مهری، لاله صفری، سارا جباری، لیدا اکبری، فرشته طاهریان، سمیه بلباسی، نفیسه خسروی، زهرا عباسی، طاهره روحی، فاطمه افشار احمدی، سعیده حسنی و سمانه رضوانی که همواره یادشان خاطرات شیرین و به یاد ماندنی دانشگاه زنجان را در خاطرم تداعی خواهد کرد کمال تشکر را دارم.

Lugi Lugiato^۱

چکیده

این پایان نامه در تلاش است که به بررسی رفتار دوپایایی نوری^۲ در سیستم های کوانتمومی مختلف بپردازد. در ابتدا این پدیده در یک سیستم دو ترازی دمشی – کاوشگر در داخل یک کاواک حلقوی یک سویه مورد بررسی قرار گرفته و با تنظیم شدت و فرکانس میدان دمشی و نامیرانی بین دو میدان کنترل شده است. سپس در یک سیستم سه ترازی نوع V نیز در حضور تداخل کوانتمومی مطالعه شده و نشان داده شده است که پاسخ محیط در فرکانس میدان کاوشگر در حالت کلی، واپسنه به فاز نسبی دو میدان نیست. در نهایت دوپایایی نوری از طریق برهمکنش حالت های تاریک^۳ در سیستم چهار ترازی جیوه کنترل شده و کاهش چشمگیر آستانه دوپایایی در حضور حالت های تاریک دوگانه^۴ مشاهده شده است. بعلاوه اثر دمشن ناهمدوس روی دوپایایی نوری در این سیستم نیز مورد بررسی قرار گرفته است.

Optical bistability^۲
Interacting dark – state^۳
Double – dark resonance^۴

فهرست

چهار	چکیده
هشت	مقدمه
١ دوپایایی نوری		
٢	١.١ برهمنکش اتم با میدان الکترومغناطیسی
٢	١.١.١ نظریه کلاسیک برهمنکش اتم با میدان الکترومغناطیسی
٣	٢.١.١ نظریه نیمه کلاسیک برهمنکش اتم با میدان الکترومغناطیسی
٧	٢.١ اپتیک غیرخطی
٨	٣.١ بررسی دوپایایی نوری با توجه نظریه کلاسیک برهمنکش
٩	١.٣.١ دوپایایی جاذب
١١	٢.٣.١ دوپایایی پاشنده
١٢	٤.١ بررسی دوپایایی نوری با توجه به نظریه نیمه کلاسیک برهمنکش
١٥	١.٤.١ فرمول بندی ماتریس چگالی

۵.۱ بررسی دوپایایی نوری به صورت تجربی ۱۶

۲ کنترل دوپایایی نوری در سیستم دو ترازی دمشی – کاوشگر

۱.۲ مدل سیستم اتمی دو ترازی و معادلات حاکم بر آن ۲۰

۲.۱ بررسی دوپایایی نوری و تحلیل نتایج ۲۶

۲.۲ نتیجه گیری ۳۱

۳ اثر تداخل کوانتمی روی دوپایایی نوری سیستم سه ترازی نوع V

۱.۳ مدل سیستم اتمی و معادلات حرکت ۳۳

۲.۳ در حالت تشدید دوفوتونی ۳۶

۱.۲.۳ نتایج عددی مربوط به مشخصات اپتیکی سیستم ۳۷

۳.۳ فراتراز تشدید دوفوتونی ۴۱

۱.۳.۳ نتایج عددی در حالت تشدید دوفوتونی تنها با در نظر گرفتن سهم $\rho_{31}^{(+1)}$ ۴۲

۲.۳.۳ نتایج عددی در حالت فراتراز تشدید دوفوتونی ۴۴

۴.۳ نتیجه گیری ۴۶

۴ کنترل دوپایایی نوری از طریق برهمکنش حالت های تیره اتمی در

جیوه

۱.۴ مدل سیستم اتمی و معادلات حاکم بر آن ۴۸

۲.۴ بررسی رفتار دوپایایی نوری و تحلیل نتایج ۵۱

۵۸	اثر دمچ ناهمدوس روی دوپایایی نوری	۳.۴
۶۰	نتیجه گیری	۴.۴
۶۱	مراجع	

مقدمه

بعضی از سیستم‌های اپتیکی غیرخطی به ازای یک ورودی معین می‌توانند بیش از یک خروجی داشته باشند. اصطلاح دوپلایایی نوری، OB ، به وضعیتی اطلاق می‌شود که در آن به ازای یک شدت ورودی دو شدت خروجی متفاوت برای سیستم ممکن باشد. چنین رفتار دوپلایای نتیجه غیرخطیت فضای اتمی و مکانیسم فیدبک ناشی از آینه‌های کاواک می‌باشد که به خاطر امکان استفاده از آن در سوئیچ‌های اپتیکی در محاسبات نوری و ارتباطات بسیار مورد توجه و علاقه فیزیکدانان قرار گرفته است. دوپلایایی نوری در سیستم‌های اتمی دو ترازی به صورت تجربی و نظری به طور بسیار گسترده مورد مطالعه شده است [۱]. در تعام مدل‌های پیشنهاد شده برای بررسی OB در سیستم‌های فوق تنها از یک میدان تک فرکانسی استفاده شده و رفتار OB تنها با تغییر شدت میدان فرودی که خود بخشی از منحنی دوپلایایی می‌باشد، کنترل شده است [۲, ۱]. به همین خاطر سیستم‌های اتمی سه ترازی که در آن‌ها میدان دمشی پارامتر کنترلی برای رفتار OB می‌باشد، جایگزین سیستم‌های دو ترازی شدند [۳]. در سیستم‌های سه ترازی به صورت نظری مطالعه شده [۴, ۳] و به طور تجربی [۵] اندازه گیری شده است. همدوسی اتمی القا شده و تداخل کوانتموی نقش موثری روی رفتار اپتیکی این سیستم‌ها دارند. اثر تداخل کوانتموی در جذب [۶]، سرعت گروه [۷] و دوپلایایی نوری [۸] در سیستم اتمی سه ترازی نوع V بررسی شده است. همچنین نشان داده شده است که تداخل کوانتموی ناشی از گسیل خودبخودی می‌تواند وابستگی فازی در این سیستم‌ها القا کند [۹, ۱۰]. وابستگی فازی مشخصات اپتیکی سیستم‌های اتمی بسته بسیار مورد توجه قرار گرفته [۱۱, ۱۲]. همچنین در سیستم سه ترازی نوع V در حضور تداخل کوانتموی تنها در حالت تشديد دو فوتونی وابستگی فازی مشخصات اپتیکی سیستم شامل جذب و پراکندگی مشاهده شده است [۱۳, ۱۴] و کاهش آستانه دوپلایایی در حضور تداخل کوانتموی نتیجه شده است [۸, ۱۵]. اخیراً رفتار OB در سیستم‌های چهار ترازی نوع N و سه پایه ای مورد بررسی قرار گرفته [۱۶, ۱۷, ۱۸]. یکی از اثرات همدوسی کوانتموی در سیستم‌های چهار ترازی تشديد های تاریک برهمکنشی می‌باشد که به صورت تجربی [۹] و نظری [۲۰] بررسی مشاهده شده است. جنبه مشخص این پدیده ظهور قله بسیار باریک در طیف جذبی این سیستم‌ها می‌باشد. از این پدیده تاکنون به عنوان یک مکانیسم قدرتمند برای کنترل سرعت گروه [۲۱]، سوئیچینگ اپتیکی [۲۲] و آمیختگی چهار موج [۲۲] استفاده شده است.

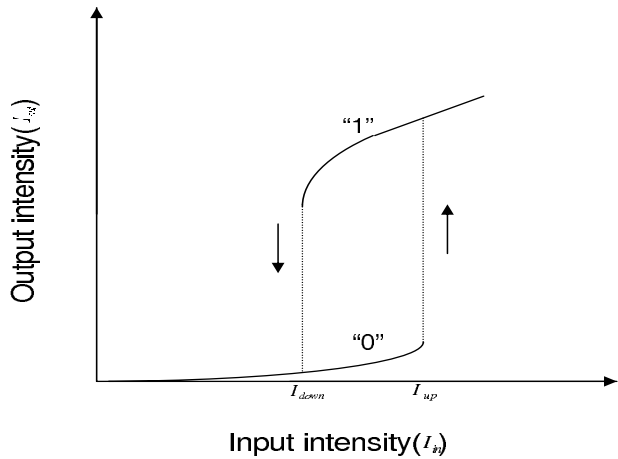
در این پایان نامه ابتدا در فصل اول به بیان مفهوم دوپایایی نوری پرداخته و در فصل دوم OB در یک سیستم اتمی دو ترازی از طریق شدت و نامیزانی میدان دمشی کنترل شده است. در فصل سوم اثر تداخل کوانتوسی ناشی از گسیل خودبخودی در جذب، پراکندگی، سرعت گروه و دوپایایی نوری در یک سیستم اتمی سه ترازی نوع V در هر دو حالت تشدید دوفوتونی و فراتراز آن مطالعه شده و با استفاده از تجزیه فلوکوئت^۵ در معادلات حرکت وابسته به زمان فرایند های پراکندگی مختلفی که روی پاسخ محیط به میدان کاوشگر اثر دارند مشخص شده اند. در فصل آخر کاربرد برهمکنش حالت های تاریک در دوپایایی نوری مورد نیز بررسی قرار گرفته است. از این تشدید های تاریک برهمکنشی برای کنترل رفتار OB در یک سیستم اتمی چهار ترازی جیوه استفاده شده که باعث کاهش آستانه OB به طور چشمگیری شده است. همچنین اثر دمش ناهمدوس در رفتار OB در این سیستم ها تجزیه و تحلیل شده است.

Floquet^۵

فصل اول

دوپایایی نوری

دوپایایی نوری پدیده جالبی است که به موجب آن یک وسیله اپتیکی می‌تواند به ازای یک ورودی یکسان هر یک از دو حالت پایدارخروجی «۰۰» و «۱۱» شکل (۱-۲۴) دارا باشد [۲۴]. این پدیده حوزه‌ی گسترده‌ای از تحقیقات را بخاطر کاربردهای فراوانش در منطقه‌های تمام اپتیکی، سوئچینگ اپتیکی، ترانزیستورها و عناصر ذخیره سازی اپتیکی به خود اختصاص داده است. دوپایایی نوری اولین بار بوسیله *Daneu, Goldhar, Szoke* و *Kurnit* در سال ۱۹۶۹ نشان داده شد. سپس در سال ۱۹۷۶ بوسیله *McCall* مورد بحث قرار گرفت. در همین سال این پدیده در بخار سدیم بوسیله *Gibbs, MaCall* و *Venkatesan* در آزمایشگاه مشاهده شد [۲۵, ۲۶]. وسیله دوپایایی که در این محاسبات به کار گرفته شده بود شامل یک محیط غیر خطی بود که داخل یک مشدد فابری پرو قرار داده شده بود که فیدبک را برای ایجاد دوپایایی فراهم می‌کرد [۲۶]. یک وسیله دوپایایی می‌تواند به صورت یک جزء در وسایل منطقی یا به صورت یک عنصر حافظه اپتیکی عمل کند. این امید وجود دارد که یک وسیله دوپایای در فرآیندهای اپتیکی مثل سوئچینگ و محاسبات نوری تغییرات اساسی ایجاد کند. در حال حاضر تحقیقات روی بهینه کردن این وسایل که بتوانند در توانهای کمتر (از مرتبه mW) بسیار سریعتر (زمان های سوئچینگ از مرتبه ps) عمل کنند، متوجه شده‌اند.



شکل ۱-۱: خروجی یک وسیله دوپایا که می‌تواند به صورت یک عنصر حافظه عمل کند [۲۴].

۱.۱ برهمنکش اتم با میدان الکترومغناطیسی

برهمکنش نور با ماده از مهمترین مباحث در اپتیک کوانتمی به شمار می‌رود. پس از پیدایش مکانیک کوانتمی سه رویکرد متفاوت برای بررسی برهمکنش اتم با میدان الکترومغناطیسی مطرح شد. تفاوت این سه رویکرد در گستته در نظر گرفتن انرژی مربوط به اتم‌ها و انرژی میدان الکترومغناطیسی می‌باشد. دو رویکرد اول در ادامه توضیح داده شده‌اند. در اینجا از بیان رویکرد سوم که دیدگاه کاملاً کوانتمی است بدليل عدم استفاده از آن در این پایان نامه صرفنظر شده است.

۱.۱.۱ نظریه کلاسیک برهمکنش اتم با میدان الکترومغناطیسی

نظریه کلاسیک برهمکنش اتم با میدان الکترومغناطیسی زمانی مطرح می‌شود که اتم و میدان الکترومغناطیسی به صورت کلاسیکی در نظر گرفته شوند. هنگامی که ذره‌ای باردار در میدان الکترومغناطیسی قرار گیرد با آن برهمکنش می‌کند. بنابراین در حضور میدان الکترومغناطیسی، وجود ذرات باردار اتم باعث برهمکنش اتم با

میدان می شود. هامیلتونی الکترون مقید به یک اتم در غیاب میدان های خارجی به این صورت است.

$$H_0(r, p) = \frac{\vec{p}^2}{2m} + V(r) \quad (1)$$

که $V(r)$ پتانسیل کلونی الکترون مقید به هسته، \vec{p} تکانه الکترون و m جرم الکترون می باشد. هامیلتونی برهمکنش الکترون با میدان الکترومغناطیسی خارجی، با پتانسیل های برداری $\vec{A}(r, t)$ و انتقالی $\vec{\Phi}(r, t)$ به صورت زیر است:

$$H(r, t) = \frac{1}{2m} [\vec{p} + \vec{A}(r, t)]^2 - e\vec{\Phi}(r, t) + V(r). \quad (2)$$

این پتانسیل ها به گونه ای تعریف می شوند که

$$\begin{aligned} \vec{E} &= -\nabla \vec{\Phi}(r, t) - \frac{1}{c} \frac{\partial \vec{A}(r, t)}{\partial t}, \\ \vec{B} &= \nabla \times \vec{A}(r, t). \end{aligned} \quad (3)$$

به این ترتیب ناوردایی معادلات ماکسول تحت تبدیلات پیمانه ای این امکان را خواهد داد تا پتانسیل ها را به شکل مناسبی تعریف کنیم. از آنجایی که تغییرات فضایی پتانسیل های برداری و نرده ای در چارچوب نظریه کلاسیک در مقیاسی کوچکتر از ابعاد اتمی روی می دهد به تقریب می توان \vec{A} را مستقل از مکان درنظر گرفت در این صورت \vec{A} تنها تابعی از زمان خواهد بود با استفاده از این تقریب که تقریب دوقطبی نام دارد [۲۷]، هامیلتونی برهمکنش اتم با میدان الکترومغناطیسی به صورت زیر خواهد شد.

$$H = H_0 + H^{(I)} = H_0 - \vec{d} \cdot \vec{E}(t). \quad (4)$$

در رابطه بالا $\vec{d} = -e\vec{r}$ گشتاور دوقطبی الکتریکی می باشد.

۲.۱.۱ نظریه نیمه کلاسیک برهمکنش اتم با میدان الکترومغناطیسی

نظریه نیمه کلاسیک برهمکنش اتم با میدان الکترومغناطیسی زمانی مطرح می شود که اتم به صورت کوانتومی و میدان به صورت کلاسیکی در نظر گرفته شود. در این نظریه به جای متغیر های مختلف هامیلتونی مربوط به اتم،

عملگر های متناظر شان قرار می گیرند. بنابراین هامیلتونی نیمه کلاسیکی برهمکنش اتم کوانتوسی با میدان الکترومغناطیسی کلاسیکی به صورت زیر بیان خواهد شد:

$$H = H_0 + H^{(I)} = H_0 - \hat{d} \cdot \vec{E}(t), \quad (5)$$

در رابطه بالا \hat{d} عملگر گشتاور دوقطبی الکتریکی می باشد. برای بدست آوردن تغییرات حالت سیستم در اثر برهمکنش از نظریه اختلال استفاده می شود. میدان الکتریکی به شکل $\vec{E}(t) = \vec{E}_0 \cos(\omega t)$ فرض می شود و به طور ناگهانی در لحظه $t = 0$ روشن می شود. همچنین فرض می کنیم که تقریب دوقطبی الکتریکی، $k.r < 1$ برقرار بوده، و اتم در ابتدا در حالت $|i\rangle$ باشد. بنابراین تابع حالت سیستم در زمان های $t > 0$ به صورت زیر خواهد بود:

$$|\Psi(t)\rangle = \sum_k C_k(t) e^{-i\frac{E_k t}{\hbar}} |k\rangle, \quad (6)$$

در رابطه بالا شرط بهنجارش برای دامنه های وابسته به زمان $C_k(t)$ برقرار است. با جایگذاری این رابطه در معادله شرودینگر وابسته به زمان

$$i\hbar \frac{d|\Psi(t)\rangle}{dt} = (\hat{H}_0 + \hat{H}^{(I)}) |\Psi(t)\rangle, \quad (7)$$

معادلات دیفرانسیل مرتبه اول زیر را برای دامنه های احتمال بدست می آوریم:

$$\dot{C_\ell}(t) = -\frac{i}{\hbar} \sum_k C_k(t) \langle \ell | \hat{H}^{(I)} | k \rangle e^{i\omega_{k\ell} t}. \quad (8)$$

در اینجا $\omega_{k\ell} = \frac{E_\ell - E_k}{\hbar}$ فرکانس گذار بین تراز های ℓ و k می باشد. اکنون با استفاده از نظریه اختلال تا مرتبه اول برای دامنه های احتمال خواهیم داشت:

$$\begin{aligned} \dot{C_\ell^{(0)}} &= 0, \\ \dot{C_\ell^{(1)}} &= -\frac{i}{\hbar} \sum_k C_k^{(0)} H_{\ell k}^{(I)}(t) e^{i\omega_{k\ell} t}, \end{aligned} \quad (9)$$

در رابطه بالا $H_{\ell k}^{(I)}(t) \equiv \langle \ell | H^{(I)}(t) | k \rangle$ تعریف شده است. نظریه اختلال تا زمانی معتبر می باشد که میدان خارجی ضعیف باشد به طوریکه جمعیت های اتمی خیلی کم تغییر کنند. این یعنی، اگر $C_i(0) = 1$ و

$k = i$ باشند، سپس برای $f \neq i$ $|C_f(t)| << 1$ و $C_i(t) \approx 1, t > 0$ به ازای معادله (۹) بنا براین:

نتیجه زیر را خواهد داد:

$$\dot{C}_f^{(1)}(t) = -\frac{i}{\hbar} H_{fi}^{(I)}(t) e^{i\omega_{fi}t} C_i^{(0)}(t). \quad (10)$$

دامنه گذار از تراز i به f با انتگرال گیری از رابطه بالا بدست می آید:

$$C_f^{(1)}(t) = -\frac{i}{\hbar} \int_0^t dt' H_{fi}^{(I)}(t') e^{i\omega_{fi}t'} C_i^{(0)}(t'). \quad (11)$$

عنصر ماتریسی عملگر \hat{d} فقط برای حالت هایی که پاریته مخالف دارند غیر صفر خواهد بود. بنابراین تصحیح مرتبه اول برای دامنه احتمال در حالت اولیه صفر می شود، $C_i^{(1)} = 0$. و با توجه به $H^{(I)} = -\hat{d} \cdot \vec{E}_0 \cos(\omega t)$ داریم:

$$C_f^{(1)} = -\frac{i}{\hbar} \int_0^t dt' H_{fi}^{(I)}(t') e^{i\omega_{fi}t'} = \frac{1}{2\hbar} (\hat{d} \cdot \vec{E}_0)_{fi} \times \left[\frac{e^{i(\omega + \omega_{fi})t} - 1}{(\omega + \omega_{fi})} - \frac{e^{-i(\omega - \omega_{fi})t} - 1}{(\omega - \omega_{fi})} \right]. \quad (12)$$

هنگامیکه فرکانس میدان تابشی، ω ، نزدیک به فرکانس گذار اتمی باشد، ω_{fi} ، اثر جمله اول در مقایسه با جمله دوم ناچیز خواهد بود زیرا جمله اول به شدت نوسان می کند و مقدار انتگرال آن در بازه های زمانی که طولشان بزرگتر از $\frac{1}{2\omega}$ باشد نسبت به انتگرال دوم کوچک خواهد شد. بنابراین ما در تقریب موج چرخان از جمله اول در مقابل جمله دوم صرفنظر می کنیم. بدین ترتیب احتمال گذار در مرتبه اول برابر است با:

$$P_{i \rightarrow f}^{(1)}(t) = |C_f^{(1)}(t)|^2 = \frac{|(\hat{d} \cdot \vec{E}_0)_{fi}|^2 \sin^2(\frac{\Delta t}{2})}{\hbar^2 \Delta^2}, \quad (13)$$

در اینجا $\Delta = \omega - \omega_{fi}$ نامیزانی بین میدان تابشی و گذار اتمی می باشد. وقتی $0 \neq \Delta$ باشد ماکسیمم مقدار

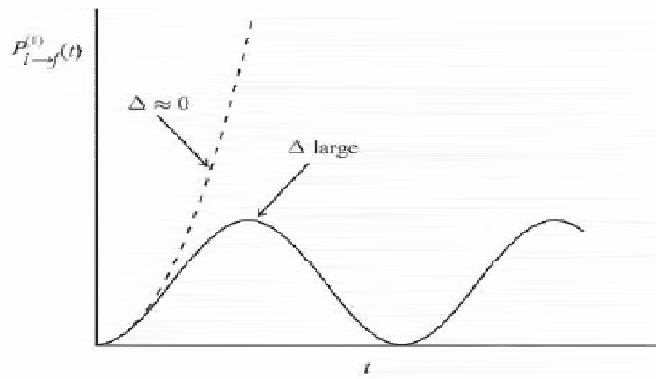
احتمال به صورت:

$$(P_{i \rightarrow f}^{(1)})_{max} = |C_f^{(1)}(t)|^2 = \frac{|(\hat{d} \cdot \vec{E}_0)_{fi}|^2}{\hbar^2 \Delta^2} \frac{1}{\Delta^2}. \quad (14)$$

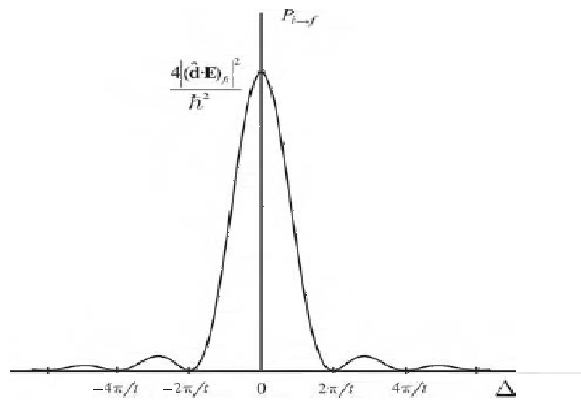
و در حالت تشدید، $\Delta = 0$ برابر با:

$$(P_{i \rightarrow f}^{(1)})_{max} = |C_f^{(1)}(t)|^2 = \frac{|(\hat{d} \cdot \vec{E}_0)_{fi}|^2}{4\hbar^2} t^2. \quad (15)$$

نظریه اختلال تا زمانی معتبر خواهد بود که $P_{i \rightarrow f}^{(1)}(t)_{max} < < 1$ باشد. بنابراین در حالت تشدید رابطه (۱۵) در زمان های کوچک صادق است. در شکل (۱-۲) احتمال گذار برای هر دو مورد $\Delta \approx 0$ و نامیزانی های بزرگ بر حسب زمان رسم شده است. همچنین در شکل (۱-۳) این احتمال گذار به صورت تابعی از Δ رسم شده است.



شکل ۱-۲: احتمال گذار $P_{i \rightarrow f}^{(1)}(t)$ بر حسب زمان برای نامیزانی های کوچک و بزرگ [۲۷].



شکل ۱-۳: احتمال گذار $P_{i \rightarrow f}^{(1)}(t)$ بر حسب نامیزانی Δ . [۲۷]

در حد $t \rightarrow \infty$ و $\Delta \approx 0$ احتمال گذار به وسیله تابع دلتای دیراک بیان می شود:

$$P_{i \rightarrow f}^{(1)}(t) = \frac{\pi}{2} \frac{|(\hat{d} \cdot \mathbf{E}_0)_f|^2}{\hbar^2} t \delta(\Delta). \quad (16)$$

بنابراین با تعریف نرخ احتمال گذار به صورت

$$W_{i \rightarrow f} = \frac{P_{i \rightarrow f}^{(1)}}{t} \quad (17)$$

و توجه به این نکته که در عمل میدان دارای پهنه‌ای فرکانسی می‌باشد، مجموعه‌ای از حالت‌های نهایی $|f\rangle$ برای اتم قابل دسترس خواهد بود. اگر $|f\rangle$ مجموعه‌ای از حالت‌های نهایی باشد، برای یک میدان با فرکانس ω

نرخ احتمال گذار به این صورت خواهد بود:

$$W_{i \rightarrow [f]} = \frac{\pi}{2} \sum_{[f]} \frac{|\langle \hat{d} \cdot \vec{E}_0 \rangle_{fi}|^2}{\hbar^2} \delta(\omega - \omega_{fi}). \quad (18)$$

عبارت (18) به قائد طلایی فرمی مشهور است و مفهوم آن این است که گذار در فرکانس‌هایی رخ می‌دهد که با فرکانس نور تابشی برابر باشند [۲۷].

۲.۱ اپتیک غیر خطی

میدان الکترومغناطیسی یک موج نوری در هنگام انتشار درون یک محیط باعث بوجود آمدن قطبش الکتریکی در راستای میدان اعمالی در آن محیط می‌شود. از آنجایی که قطبش از میدان پیروی می‌کند می‌توان نوشت:

$$P(t) = \epsilon_0 \chi^{(1)} E(t). \quad (19)$$

در این رابطه χ ثابتی بدون بعد می‌باشد که پذیرفتاری خطی نام دارد. همانطور که مشاهده می‌شود رفتار P و E نسبت به هم خطی است. در حالتی که شدت میدان‌های اعمالی به سیستم خیلی شدید باشد P اشباع خواهد شد و دیگر رفتارش نسبت به E خطی نخواهد بود، بنابراین بتدریج که E افزایش می‌یابد می‌توانیم یک حالت غیرخطی را انتظار داشته باشیم. با توجه به این که P و E در ساده‌ترین حالت در یک محیط همسانگرد در امتداد هم می‌باشند می‌توانیم قطبش را به صورت یک سری توانی از شدت میدان $E(t)$ به صورت زیر بیان کنیم :

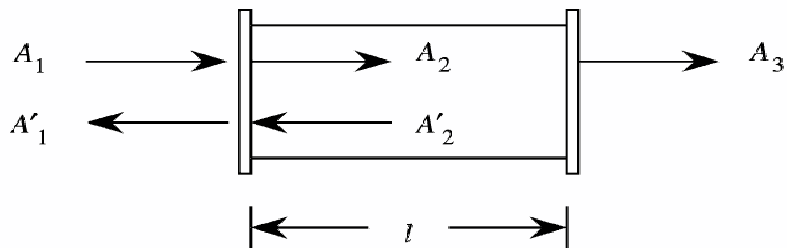
$$P(t) = \epsilon_0 (\chi^{(1)} E(t) + \chi^{(2)} E^2(t) + \chi^{(3)} E^3(t) + \dots) \quad (20)$$

زمانی که پاسخ نوری به صورت رابطه بالا باشد وارد حوزه اپتیک غیرخطی شده ایم $\chi^{(2)}$ و $\chi^{(3)}$ پذیرفتاری‌های غیرخطی مرتبه دوم و سوم می‌باشند. از آنجایی که قطبش یک نقش کلیدی در توصیف پدیده‌های اپتیک غیرخطی بازی می‌کند بر حسب اینکه قطبش غیرخطی مرتبه دوم یا سوم باشد پدیده‌های فیزیکی متفاوتی رخ خواهد داد. برای مثال تولید هماهنگ دوم، تولید فرکانس جمع و تفریق پدیده‌هایی هستند که در آن‌ها

پذیرفتاری مرتبه دوم غیر صفر است. همچنین تولید هماهنگ سوم، خود کانونی و دوپایایی نوری فرآیندهایی هستند که در آن‌ها پذیرفتاری مرتبه سوم نقش اساسی دارد [۲۶].

۳.۱ بررسی دوپایایی نوری با توجه نظریه کلاسیک برهمنکش

برای بررسی دوپایایی نوری در دیدگاه کلاسیک یک محیط غیر خطی در داخل مشدد فابری پرو در نظر می‌گیریم. این وسیله دوپایا به طور شماتیکی در شکل (۱-۴) نشان داده شده است. در این شکل A_1 به عنوان دامنه میدان فرودی، A'_1 دامنه موج بازتابی، A_2 و A'_2 دامنه موج جلو رونده و عقب رونده داخل تداخل سنج و A_3 دامنه موج عبوری می‌باشد. در اینجا آینه‌های کاواک مشابه و بدون اتلاف در نظر گرفته می‌شوند.



شکل ۱-۴: وسیله‌ی دوپایای نوری که از یک محیط غیر خطی داخل یک تداخل سنج فابری-پرو تشکیل شده است [۲۶].

دامنه‌های بازتابی ρ و عبوری τ با شدت‌های بازتاب R و عبور T به صورت زیر رابطه دارند:

$$R = |\rho|^2, \quad T = |\tau|^2, \quad (21)$$

$$R + T = 1. \quad (22)$$

میدان‌های فرودی و درونی با استفاده از شرایط مرزی به شکل زیر با هم مرتبط هستند:

$$A'_2 = \rho A_2 e^{2ikl - \alpha l}, \quad (23)$$

$$A_2 = \tau A_1 + \rho A'_2, \quad (24)$$

دراينجا عدد موج $k = nw/c$ و ضریب جذب وابسته به شدت α کمیت های حقیقی در نظر گرفته شده اند که شامل هر دو سهم خطی و غیرخطی می باشند. در معادلات بالا فرض شده است که عدد موج و ضریب جذب در طول فضا تغییر نکنند که به تقریب میدان متوسط معروف است. این فرض به طور خاص زمانی برقرار است که $T << 1$ و $\alpha l << 1$ باشد. با حذف A'_2 از معادلات (۲۳) و (۲۴) به معادله زیر می رسیم:

$$A_2 = \frac{\tau A_1}{1 - \rho^2 e^{2ikl - \alpha l}}, \quad (25)$$

اگر k یا α یا هر دو توابع غیر خطی از شدت نور داخل سنج باشند معادله (۲۵) دوپیایی را در شدت های موج عبوری نشان خواهد داد. در حالت کلی هر دوی این کمیت ها می توانند رفتار غیرخطی از خود نشان دهند. در ادامه برای درک بهتر مفهوم دوپیایی شرایطی را که در آن هر یک از سهم های جاذب یا پاشنده غالب باشند، مورد بررسی قرار می دهیم.

۱.۳.۱ دوپیایی جاذب

در دوپیایی جاذب کاواک با میدان فرودی در حالت تشدید می باشد و بنابراین تنها ضریب جذب به طور غیر خطی به شدت میدان بستگی دارد و عدد موج ثابت فرض می شود. در این حالت با فرض $1 << \alpha l$ داریم:

$$A_2 = \frac{\tau A_1}{1 - R(1 - \alpha l)}, \quad (26)$$

به طور مشابه رابطه بین شدت میدان فرودی و میدان داخل کاواک با توجه به $I_i = 2n\epsilon_0|A_i|^2$ ، به این صورت بیان می شود:

$$I_2 = \frac{TI_1}{[1 - R(1 - \alpha l)]^2}. \quad (27)$$

با تعریف پارامتر بی بعد $C = \frac{R\alpha l}{1-R}$ ، معادله (۲۷) بدین شکل ساده می شود:

$$I_2 = \frac{1}{T} \frac{I_1}{(1 + C)^2}. \quad (28)$$

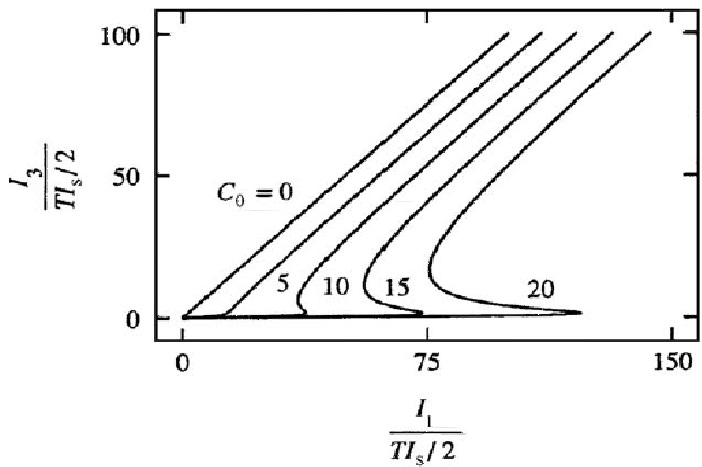
اکنون با در نظر گرفتن بستگی ضریب جذب α و بنابراین پارامتر $C = \frac{R\alpha l}{1-R}$ به شدت نور داخل سنج و با توجه به رابطه معتبر برای جاذب اشباع پذیر در سیستم دو ترازی به صورت $\alpha = \frac{\alpha_0}{1+I/I_s}$ ، (α_0 ضریب جذب

غیراشباع و I_s شدت اشباع) رابطه بین شدت میدان فرودی و خروجی بدین صورت بدست می آید [۲۶]:

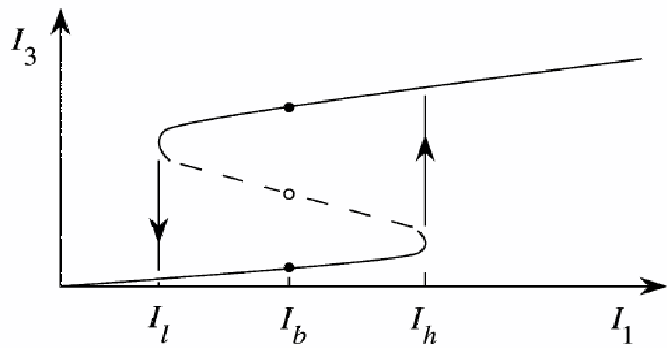
$$I_1 = I_3 \left(1 + \frac{C_0}{1 + 2I_3/TI_s} \right). \quad (۲۹)$$

در رابطه بالا $C_0 = \frac{R\alpha_0 l}{1-R}$ و $i_2 = Ti_2$ و $i_3 = Ti_3$ می باشند. در رابطه بالا از اثرات تشکیل موج ایستاده در داخل تداخل سنج صرفنظر شده است؛ بدین ترتیب $I = I_2 + I'_2 = 2I_2$ ، در نظر گرفته شده است. رابطه بین شدت میدان ورودی و خروجی برای مقادیر مختلف C_0 در شکل (۱-۵) نشان داده شده است. همانطور که مشاهده می شود در مقادیر معینی از شدت ورودی کاواک، بیش از یک شدت خروجی بدست می آید.

به همین ترتیب در شکل (۱-۶) رفتار دوپایایی یک سیستم به طور شماتیکی نشان داده شده است. شاخه ای از منحنی که به صوت خط چین نشان داده شده است حالت ناپایدار در سیستم را نشان می دهد، یعنی اگر سیستم ابتدا در این حالت باشد (I_0) به سرعت به یکی از دو حالت پایدار سوئیچ خواهد شد. از این حالت سیستم برای ذخیره کردن اطلاعات دو تایی استفاده می شود. در این مورد به خاطر حضور جاذب اشباع پذیر در شدت های فرودی پایین، حالت «۰»، عبور بسیار کم می باشد و بیشتر نور فرودی بازتاب می شود. افزایش شدت میدان فرودی باعث می شود جاذب به حالت اشباع برسد. همچنین با افزایش میدان داخلی شدت اشباع بیشتر شده و بنا براین سیستم در حالت «۱» قرار می گیرد. تا زمانی که جاذب در حالت اشباع است، $I_1 = I_3$ می باشد. از طرف دیگر، هنگامی که سیستم در حالت «۱» باشد و شدت فرودی کاهش یابد، چون میدان داخلی کاواک هنوز به حد کافی قوی است، سیستم را در حالت اشباع نگه می دارد تا زمانی که دریک شدت فرودی کمتر از حد نیاز برای باقی ماندن سیستم در حالت «۱»، نور عبوری به حالت «۰» سوئیچ می شود [۱].



شکل ۱-۵: رابطه بین شدت ورودی و خروجی کاواک برای یک وسیله دوپایایی جاذب [۲۶].



شکل ۱-۶: طرح شماتیک ورودی-خروجی یک سیستم دوپایا به صورت سوئچ اپتیکی [۲۶].

۲.۳.۱ دوپایایی پاشنده

در این مورد ضریب شکست n به طور غیرخطی به شدت نور بستگی پیدا می کند و ضریب جذب صفر در نظر گرفته می شود. معادله (۲۵) با $\alpha = 0$ به صورت زیر نوشته می شود:

$$A_2 = \frac{\tau A_1}{1 - \rho^2 e^{2ikl}}. \quad (30)$$